

who wrote a number of the computer programs needed to evaluate the phases for these structures. We are also grateful to Mr D. Maracle who prepared the drawings and to Miss D. Hefner who typed the manuscript.

This investigation was supported in part by U.S.P.H. Research Grant No. CA 10906-02 from the National Cancer Institute.

References

- ALTONA, C., GEISE, H. J. & ROMERS, C. (1968). *Tetrahedron*, **24**, 13.
- APPLEZWEIG, N. (1962). *Steroid Drugs*. New York: McGraw-Hill.
- BARTELL, L. S. (1959). *J. Amer. Chem. Soc.* **81**, 3497.
- BARTELL, L. S. & BONHAM, R. A. J. (1960). *J. Chem. Phys.* **32**, 824.
- BRUTCHER, F. V. & BAUER, W. (1962). *J. Amer. Chem. Soc.* **84**, 2236.
- COOPER, A. & HODGKIN, D. C. (1968). *Tetrahedron*, **24**, 909.
- COOPER, A. & NORTON, D. A. (1968). *Acta Cryst.* **B24**, 811.
- ERCOLI, A. (1938). *Ber. dtsch. chem. Ges.* **71**, 650.
- HAUPTMAN, H. (1970). *Crystallographic Computing. Proceedings of the 1969 International Summer School on Crystallographic Computing*, pp. 41-51. Ed. F. AHMED. S. R. HALL & C. P. HUBER. Copenhagen: Munksgaard.
- HAUPTMAN, H., FISHER, J., HANCOCK, H. & NORTON, D. A. (1969). *Acta Cryst.* **B25**, 811.
- HAUPTMAN, H., WEEKS, C. M. & FISHER, J. (1971). *Acta Cryst.* **B27**, 000.
- HENDRICKSON, J. B. (1961). *J. Amer. Chem. Soc.* **83**, 4537.
- HIGH, D. F. & KRAUT, J. (1966). *Acta Cryst.* **21**, 88.
- International Tables for X-ray Crystallography* (1962). Vol. III. Birmingham: Kynoch Press.
- KARLE, I. L. & KARLE, J. (1969). *Acta Cryst.* **B25**, 428.
- KARTHA, G., LU, C. T. & NORTON, D. A. Unpublished.
- KLYNE, W. & PRELOG, V. (1960). *Experientia*, **16**, 521.
- MAJESTE, R. & TREFONAS, L. M. (1969). *J. Amer. Chem. Soc.* **91**, 1508.
- NORTON, D. A., KARTHA, G. & LU, C. T. (1963). *Acta Cryst.* **16**, 89.
- NORTON, D. A., LU, C. T. & CAMPBELL, A. E. (1962). *Acta Cryst.* **15**, 1189.
- OHRT, J. M., HANER, B. A. & NORTON, D. A. (1965). *Acta Cryst.* **19**, 479.
- TAMURA, C. & SIM, G. A. (1968). *J. Chem. Soc. (B)* p. 8.
- WHITE, A., HANDLER, P. & SMITH, E. L. (1964). *Principles of Biochemistry*. New York: McGraw-Hill.

Acta Cryst. (1971). **B27**, 1572

Structure des Complexes Peroxydiques des Métaux de Transition.

I. Structure Cristalline du Diperoxodioxalatoniobate d'Ammonium à une Molécule d'Eau, $(\text{NH}_4)_3\text{Nb}(\text{O}_2)_2(\text{C}_2\text{O}_4)_2\text{H}_2\text{O}$

PAR G. MATHERN ET R. WEISS

*Laboratoire de Cristallochimie associé au C.N.R.S., Institut de Chimie de Strasbourg,
BP 296/R8, 67-Strasbourg, France*

(Reçu le 8 octobre 1970)

The crystal structure of ammonium diperoxodioxalatoniobate $(\text{NH}_4)_3\text{Nb}(\text{O}_2)_2(\text{C}_2\text{O}_4)_2\cdot\text{H}_2\text{O}$ has been determined by X-ray diffraction. The crystals are monoclinic with $a=12.09 \pm 0.02$, $b=7.85 \pm 0.01$, $c=14.30 \pm 0.02$ Å; $\beta=94.7 \pm 0.1^\circ$; $Z=4$; space group $P2/c$. The coordination polyhedron of niobium is a dodecahedron. The two peroxide groups are in *cis* positions. The $\text{Nb}(\text{O}_2)_2(\text{C}_2\text{O}_4)_2^{3-}$ anion has C_2 symmetry. The O-O mean distance in the peroxide groups is 1.48 Å.

Introduction

Les structures cristallines de plusieurs composés peroxydiques sont connues (Stomberg, 1964, 1965, 1968; Mitschler, Le Carpentier & Weiss, 1968; Einstein & Penfold, 1964). Dans tous ces composés, le métal est un élément de transition de la colonne VI A. Sa coordination est de 6 ou 7. Le polyèdre de coordination est une pyramide pentagonale lorsque la coordination du métal est de 6 et une bipyramide pentagonale lorsqu'elle est de 7. Les deux groupements peroxydiques forment toujours deux des côtés du pentagone équatorial.

Nous avons entrepris l'étude de la structure du diperoxodioxalatoniobate d'ammonium en vue de déterminer la stéréochimie du niobium dans ce composé.

Ce travail a déjà fait l'objet d'une publication préliminaire (Mathern, Weiss & Rohmer, 1969).

1. Préparation

Nous avons utilisé la méthode de Guerchais & Spinner (1965) qui consiste à dissoudre l'oxotrioxalatoniobate d'ammonium dans une solution d'eau oxygénée à 30 %. Les cristaux de diperoxodioxalatoniobate d'ammonium se déposent sous forme de plaquettes, par évaporation lente à l'air de la solution. Il faut veiller à

Les formes dominantes sont {100}, {011}, {001}, {111}, {201}. La forme la plus développée est {100}. Des clichés de rétigraphe nous ont permis de calculer les paramètres de la maille et ont révélé des extinctions

systématiques compatibles avec les groupes spatiaux $P2/c$ et Pc .

Les paramètres ont ensuite été affinés sur diffractomètre par une mesure précise des angles ω correspon-

Tableau 2. Environnement des ions ammonium et des molécules d'eau

<i>I:N(1)</i>						<i>I:N(2)</i>					
<i>J</i>	EQ	TX	TY	TZ	<i>D</i>	<i>J</i>	EQ	TX	TY	TZ	<i>D</i>
O(4B)	4	0	0	0	2,850 Å	O'(2A)	3	0	0	0	2,845 Å
O'(2B)	2	0	1	1	2,886	O(4A)	1	0	0	0	2,866
O'(2A)	2	0	1	1	2,903	O(1B)	4	0	0	-1	2,895
O(1A)	2	0	0	1	2,957	O'(3A)	3	1	0	0	2,969
O(1A)	1	0	0	0	3,057	O'(3B)	4	0	1	-1	3,160
O(3B)	1	0	0	0	3,041						
O'(2B)	4	0	1	0	3,153						
O(2A)	1	0	0	0	3,158						
<i>I:N(3)</i>						<i>I:O(1)</i>					
<i>J</i>	EQ	TX	TY	TZ	<i>D</i>	<i>J</i>	EQ	TX	TY	TZ	<i>D</i>
O'(3B)	1	0	0	0	2,892	O(2)	1	0	0	0	2,708
O'(3A)	3	1	0	1	2,921	O(3A)	1	0	0	0	2,937
O'(2B)	4	0	1	0	2,959	O(3A)	3	1	0	0	2,937
O(1B)	4	0	0	0	2,975	O(4A)	1	0	0	0	3,044
O'(3B)	3	1	0	1	2,996	O(4A)	3	1	0	0	3,044
O(2B)	4	0	1	0	3,027	N(3)	2	1	0	1	3,081
O(1)	2	1	0	1	3,081	N(3)	4	0	0	1	3,081
O(4A)	4	0	0	0	3,124						
<i>I:O(2)</i>						<i>I:D</i>					
<i>J</i>	EQ	FX	TY	TZ	<i>D</i>	<i>J</i>	EQ	TX	TY	TZ	<i>D</i>
O(1)	1	0	0	0	2,708 Å	O(1)	1	0	0	0	2,708
O(3A)	1	0	0	0	2,896	O(3A)	1	0	0	0	2,896
O(3A)	3	1	0	0	2,896	O(3A)	3	1	0	0	2,896
O'(3A)	2	1	1	1	3,101	O'(3A)	4	0	1	-1	3,101
O'(3A)	4	0	1	-1	3,101						

D est la distance entre les atomes *I* et *J*. EQ est le numéro de la position équivalente de l'atome *J*, dans l'ordre où elles sont données dans *International Tables for X-ray Crystallography* (1969). TX, TY, TZ sont les translations apportées à l'atome *J* suivant les axes, en unités relatives. Nous n'avons porté dans le Tableau que les distances *D* inférieures à 3,20 Å.

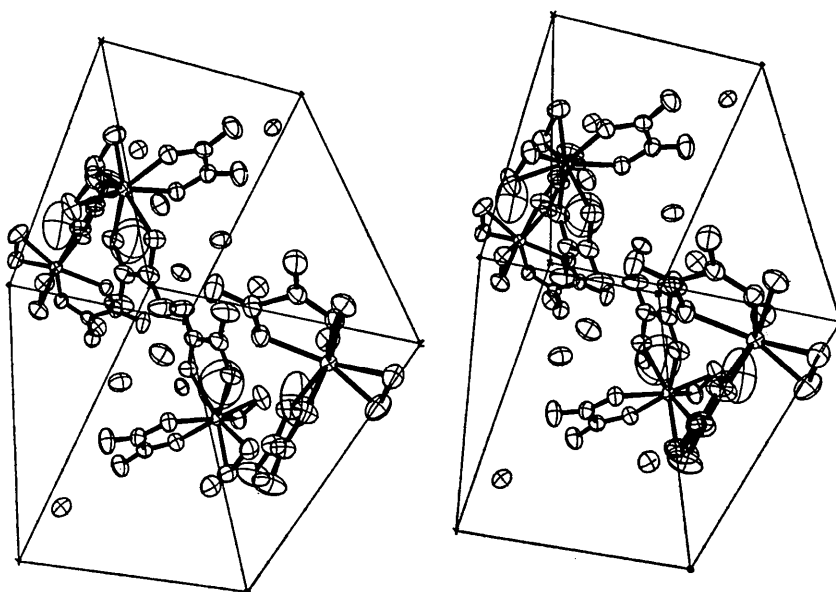


Fig. 1. Disposition des atomes dans la maille (vue stéréoscopique)

dant à une série de réflexions appartenant à la même rangée réciproque (méthode de Hornstra). Ils valent $a = 12,09 \pm 0,02$, $b = 7,85 \pm 0,01$, $c = 14,30 \pm 0,02\text{ \AA}$; $\beta = 94,7 \pm 0,1^\circ$; $V = 1352 \text{ \AA}^3$; $Z = 4$; $M = 405,1$.

La densité mesurée par picnométrie dans le xylène est de $1,99 \pm 0,03$, la densité calculée est de $1,989$.

3. Enregistrement des intensités

Les intensités diffractées ont été enregistrées à l'aide d'un diffractomètre linéaire automatique PAILRED. Le cristal utilisé était une sphère taillée de $0,31 \text{ mm}$ de rayon. L'axe cristallographique b coïncidait avec l'axe ω de l'appareil. Nous avons enregistré les strates $h0l-h9l$. Le discriminateur d'énergie centré sur le pic $K\alpha$ du molybdène laissait passer 95 % du faisceau transmis. La vitesse de rotation en ω était de $2,5^\circ \text{ min}^{-1}$. Le fond était mesuré pendant 20 sec de part et d'autre de chaque réflexion. Le demi-angle de balayage variait de $1,6$ à 2° pour les taches élevées ($\gamma > 24^\circ$) et de 2° à $3,2^\circ$ pour les taches basses ($\gamma < 24^\circ$). L'ouverture du

compteur valait 2° . Nous avons conservé 1978 réflexions indépendantes qui vérifiaient l'inégalité $\sigma(I)/I < 0,2$ (Mathern & Weiss, 1971). La résolution est de $0,80 \text{ \AA}$ dans les trois directions, ce qui correspond à $2\theta = 52^\circ$. Les corrections d'absorption n'ont pas été faites, car la variation maximum du coefficient de transmission n'excède pas 1 %.

Résolution et affinement de la structure

L'aspect des sections de la fonction de Patterson nous permet d'opter pour le groupe centrosymétrique $P2/c$. En effet, nous avons observé des pseudo-atomes Nb-Nb dans le plan situé en $y=0$. Nous avons pu déterminer les coordonnées de l'atome de niobium à partir des coordonnées des pseudo-atomes Nb-Nb de la fonction de Patterson. Les autres atomes ont été localisés à partir des sections de Fourier et de Fourier-différence. Les facteurs de diffusion utilisés sont ceux de Moore (1963); des facteurs de dispersion anomale ont été attribués au niobium. Un affinement des coordonnées atomiques et facteurs d'agitation thermique

Tableau 3. Groupements oxaliques, distances et angles

Les écarts-type sont indiqués entre parenthèses.

Nb-O		C-O	
Nb-O(2A)	2,123 (3) Å	O(2A)-C(2A)	1,284 (7) Å
Nb-O(2B)	2,131 (3)	O(2B)-C(2B)	1,296 (7)
Nb-O(3A)	2,136 (3)	O(3A)-C(3A)	1,286 (7)
Nb-O(3B)	2,158 (4)	O(3B)-C(3B)	1,272 (6)
C-O'		C(A)-C(B)	
O'(2A)-C(2A)	1,225 (6)	C(2A)-C(2B)	1,551 (7)
O'(2B)-C(2B)	1,219 (7)	C(3A)-C(3B)	1,552 (8)
O'(3A)-C(3A)	1,217 (6)		
O'(3B)-C(3B)	1,225 (7)		
Nb-O-C		O-C-O'	
Nb-O(2A)-C(2A)	118,7 (0,3)°	O(2A)-C(2A)-O'(2A)	126,1 (0,5)°
Nb-O(2B)-C(2B)	118,4 (0,3)	O(2B)-C(2B)-O'(2B)	125,2 (0,5)
Nb-O(3A)-C(3A)	118,2 (0,3)	O(3A)-C(3A)-O'(3A)	125,8 (0,5)
Nb-O(3B)-C(3B)	118,5 (0,3)	O(3B)-C(3B)-O'(3B)	126,0 (0,5)
O-C-C		O'-C-C	
O(2A)-C(2A)-C(2B)	114,0 (0,5)	O'(2A)-C(2A)-C(2B)	119,9 (0,5)
O(2B)-C(2B)-C(2A)	113,6 (0,5)	O'(2B)-C(2B)-C(2A)	121,3 (0,5)
O(3A)-C(3A)-C(3B)	114,6 (0,5)	O'(3A)-C(3A)-C(3B)	119,6 (0,5)
O(3B)-C(3B)-C(3A)	113,6 (0,5)	O'(3B)-C(3B)-C(3A)	120,3 (0,5)
O(A)-Nb-O(B)			
O(2A)-Nb-O(2B)	75,1 (0,3)°		
O(3A)-Nb-O(3B)	74,5 (0,3)		

Tableau 4. Groupements peroxydiques: distances et angles

Les écarts-type sont indiqués entre parenthèses.

	Nb-O(A)	Nb-O(B)	O(A)-O(B)
O(1A), O(1B)	1,961 (4) Å	1,981 (4) Å	1,480 (6) Å
O(4A), O(4B)	1,982 (4)	1,969 (4)	1,485 (6)
	Nb-O(A)-O(B)	Nb-O(B)-O(A)	O(A)-Nb-O(B)
O(1A), O(1B)	68,7 (0,2)°	67,2 (0,2)°	44,1 (0,2)°
O(4A), O(4B)	67,5 (0,2)	68,4 (0,2)	44,1 (0,2)

isotrope a conduit à une valeur de 0,065 pour le facteur de fiabilité R_1 . Les bornes de pondération valaient $B_1=10$; $B_2=15$; $B_3=200$; $B_4=400$ (Mathern & Weiss 1971). Par la suite, nous avons introduit des facteurs d'agitation thermique anisotrope; les facteurs de fiabilité sont les suivants après le dernier cycle d'affinement: $R_1=0,035$, $R_2=0,042$. Les déplacements au cours de ce dernier cycle d'affinement sont inférieurs à 5 % de l'écart-type correspondant, sauf pour les paramètres d'agitation thermique des atomes d'oxygène des molécules d'eau de cristallisation. La comparaison des facteurs de structure observés et calculés montre que les corrections d'extinction secondaire sont superflues. La

hauteur des résidus sur la dernière série différence est inférieure à $0,5 \text{ e.}\text{\AA}^{-3}$. Les paramètres atomiques finaux sont groupés dans le Tableau 1.

Le Tableau 7 donne les facteurs de structure observés et calculés.

Discussion

La structure cristalline du diperroxodioxalatoniobate d'ammonium se compose d'ions NH_4^+ et $\text{Nb}(\text{O}_2)_2(\text{C}_2\text{O}_4)_2^{3-}$ et de molécules d'eau de cristallisation. L'empilement des différents motifs dans la maille est représenté sur la Fig. 1.

Les cations NH_4^+ se placent dans les lacunes que

Tableau 5. Polyèdre de coordination₄ distances O–O

O(1A)–O(2A)	2,519 Å	O(2A)–O(3A)	4,073 Å
O(1A)–O(2B)	3,952	O(2A)–O(3B)	2,752
O(1A)–O(3A)	3,608	O(2A)–O(4A)	3,616
O(1A)–O(3B)	2,820	O(2A)–O(4B)	2,644
O(1A)–O(4A)	3,282	O(2B)–O(3A)	2,712
O(1A)–O(4B)	2,902	O(2B)–O(3B)	2,778
		O(2B)–O(4A)	2,920
O(1B)–O(2A)	3,548	O(2B)–O(4B)	2,854
O(1B)–O(2B)	4,046		
O(1B)–O(3A)	2,694	O(3A)–O(4A)	2,591
O(1B)–O(3B)	2,864	O(3A)–O(4B)	3,566
O(1B)–O(4A)	2,860		
O(1B)–O(4B)	3,195	O(3B)–O(4A)	4,020
		O(3B)–O(4B)	4,063

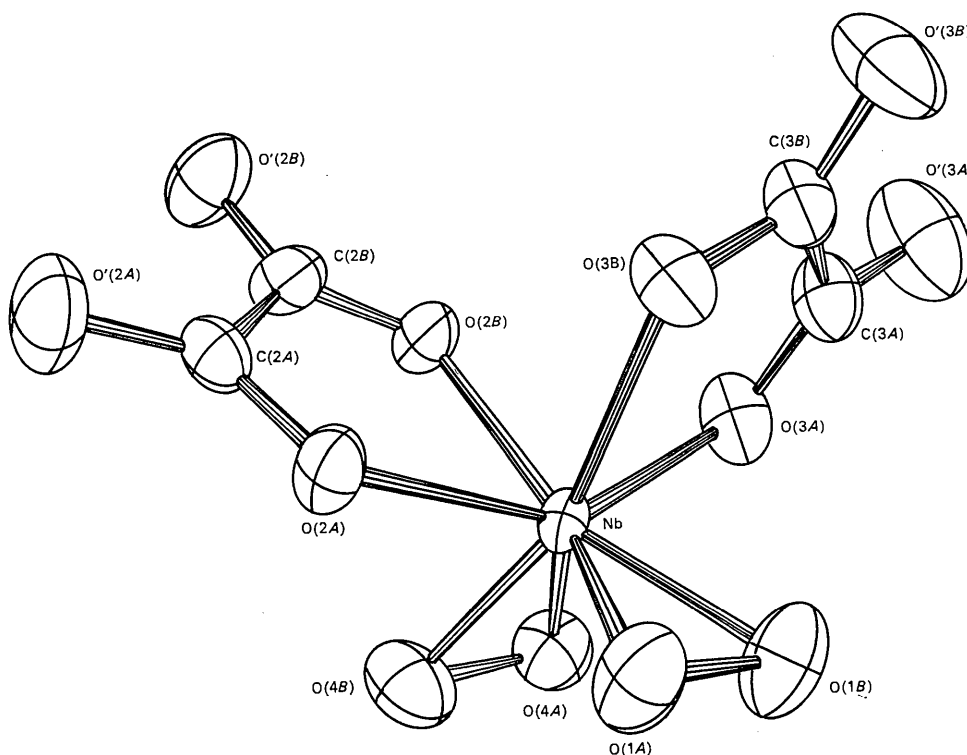


Fig. 2. L'ion $\text{Nb}(\text{O}_2)_2(\text{C}_2\text{O}_4)_2^{3-}$; géométrie et nomenclature des atomes.

laissent les anions complexes plus volumineux. Les molécules d'eau se trouvent également dans ces lacunes; elles ne sont que faiblement liées, et sans doute partiellement désordonnées (leurs coefficients d'agitation thermique sont très élevés). Le Tableau 2 donne l'environnement immédiat des ions NH_4^+ et des deux molécules d'eau. Les distances les plus courtes correspondent probablement à des atomes liés par liaison hydrogène et sont conformes aux distances couramment admises pour ce type de liaison (Pimentel & MacClellan 1960). Ces distances sont également du même ordre de grandeur que celles observées dans $(\text{NH}_4)_2\text{C}_2\text{O}_4 \cdot \text{H}_2\text{O}$ (Padmanabhan, Shrikanta & Mehdi Ali, 1965).

La géométrie de l'ion $\text{Nb}(\text{O}_2)_2(\text{C}_2\text{O}_4)_2^{2-}$ est représentée sur la Fig. 2.

Cette Figure a été obtenue à l'aide du programme ORTEP (Johnson, 1965). Les deux groupements peroxydiques sont en position *cis* l'un par rapport à l'autre. Il en est de même pour les deux groupements oxaliques. Ce résultat est remarquable car dans tous les composés diperoxydiques dont la structure est connue, les deux groupements peroxydiques sont en position *trans* (Stomberg, 1964, 1965, 1968; Mitschler, Le Carpentier & Weiss, 1968; Einstein & Penfold, 1964). En ce qui concerne les composés dioxaliques des métaux de transition, les stéréoisomères *cis* et *trans* ont été isolés dans certains cas, par exemple pour l'ion $\text{Cr}(\text{C}_2\text{O}_4)_2(\text{H}_2\text{O})_2^-$ (Hamm, 1953); les structures cristallines de quelques complexes dioxaliques *trans* ont été résolues (Van Niekerk & Schoening, 1952; Viswamitra, 1962; Mattes & Krogman, 1964; Krogman, 1966).

L'atome de niobium n'est situé sur aucun élément de symétrie. Toutefois, l'anion possède une symétrie voisine de C_2 . L'axe binaire passe par le niobium et par le centre du quadrilatère formé par les quatre atomes d'oxygène peroxydiques.

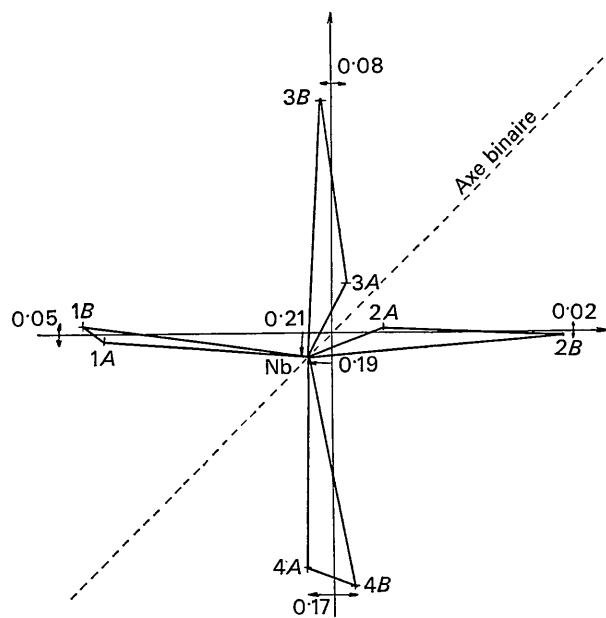


Fig. 3. Projection parallèlement à la droite d'intersection des plans moyens des trapézoïdes du dodécaèdre (axe $\bar{4}$ du dodécaèdre idéal).

Tableau 6. *Plans moyens*

N est le nombre d'atomes définissant le plan moyen. Les équations des plans moyens sont $UX + VY + WZ = D$, en coordonnées trirectangle. La matrice de passage des coordonnées relatives aux coordonnées absolues (\AA) dans le système trirectangle est

$$M = \begin{vmatrix} 12,09 & 0,0 & -1,16 \\ 0,00 & 7,85 & 0,00 \\ 0,00 & 0,00 & 14,26 \end{vmatrix} .$$

d_m est la déviation maximum (\AA) au plan. Le coefficient χ_0^2 est égal à $\sum d_i^2 / \sigma_i^2$ où les d_i sont les distances des atomes au plan moyen et les σ_i les écarts-type correspondants sur ces distances. P est la probabilité (dans le cas d'une distribution en χ^2) d'obtenir un coefficient χ^2 supérieur à χ_0^2 . Les coefficients U , V , W , D ont été calculés par moindres carrés d'après la méthode de Shomaker, Waser, Marsh & Bergman (1959). Les angles diédres sont les suivants:

Plan		plans		α	d_m	χ_0^2	P
		1-2	3-4				
1	O(3A), C(3A), O'(3A), O(3B), C(3B), O'(3B)	-0,0553	0,9168	-0,3955	-1,1278	0,02	53 < 0,001
2	O(2A), C(2A), O'(2A), O(2B), C(2B), O'(2B)	0,2377	0,3356	0,9115	6,0478	0,03	389 < 0,001
3	Nb, O(1A), O(1B)	0,1945	0,5200	0,8317	5,6397	0,00	0 /
4	Nb, O(4A), O(4B)	0,1096	0,9384	-0,3277	-0,5379	0,00	0 /
5	O(1A), O(1B), O(2A), O(2B)	0,2093	0,4129	0,8864	6,0721	0,02	56 < 0,001
6	O(3A), O(3B), O(4A), O(4B)	-0,0115	0,9113	-0,4116	-1,1075	0,06	750 < 0,001
7	O(3A), O(3B), O(4A), O(4B), O(2A)	0,0904	0,8947	-0,4375	-0,9472	0,16	3720 < 0,001

